

# Capítulo 9

## Convecção Livre

PME2360 - TRANSFERÊNCIA DE CALOR  
PROF. DR. GUENTHER CARLOS KRIEGER FILHO

[guenther@usp.br](mailto:guenther@usp.br)

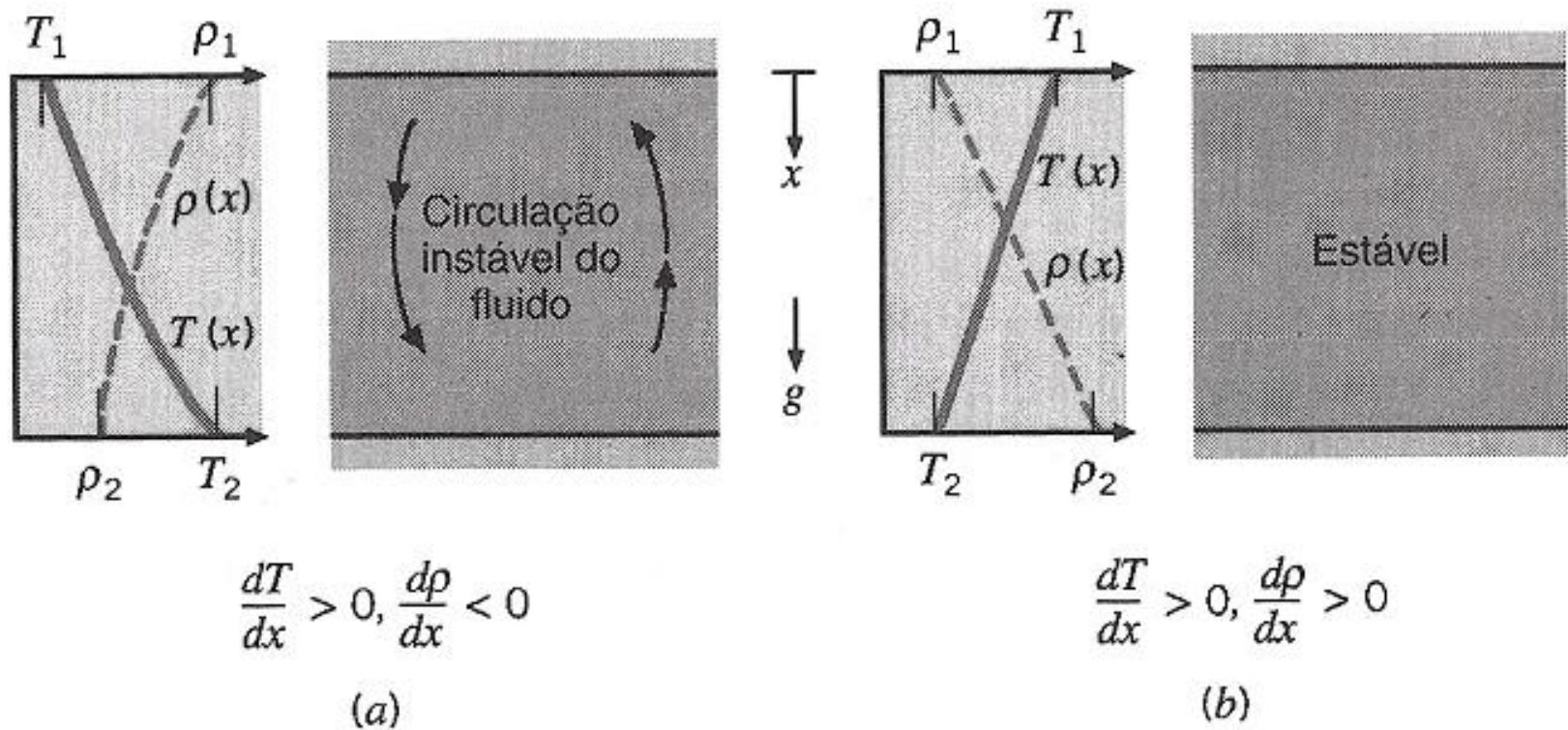
**Site LETE**

<http://www.lete.poli.usp.br/PME2360.html>

## ***9.1 Considerações Físicas***

- Movimento causado por forças de empuxo;
  - Empuxo: presença combinada de um gradiente de densidade e de uma força de corpo proporcional à densidade;
  - Gradiente de densidade aparece devido a um gradiente de temperatura;
  - Gradiente de temperatura não necessariamente gera movimento

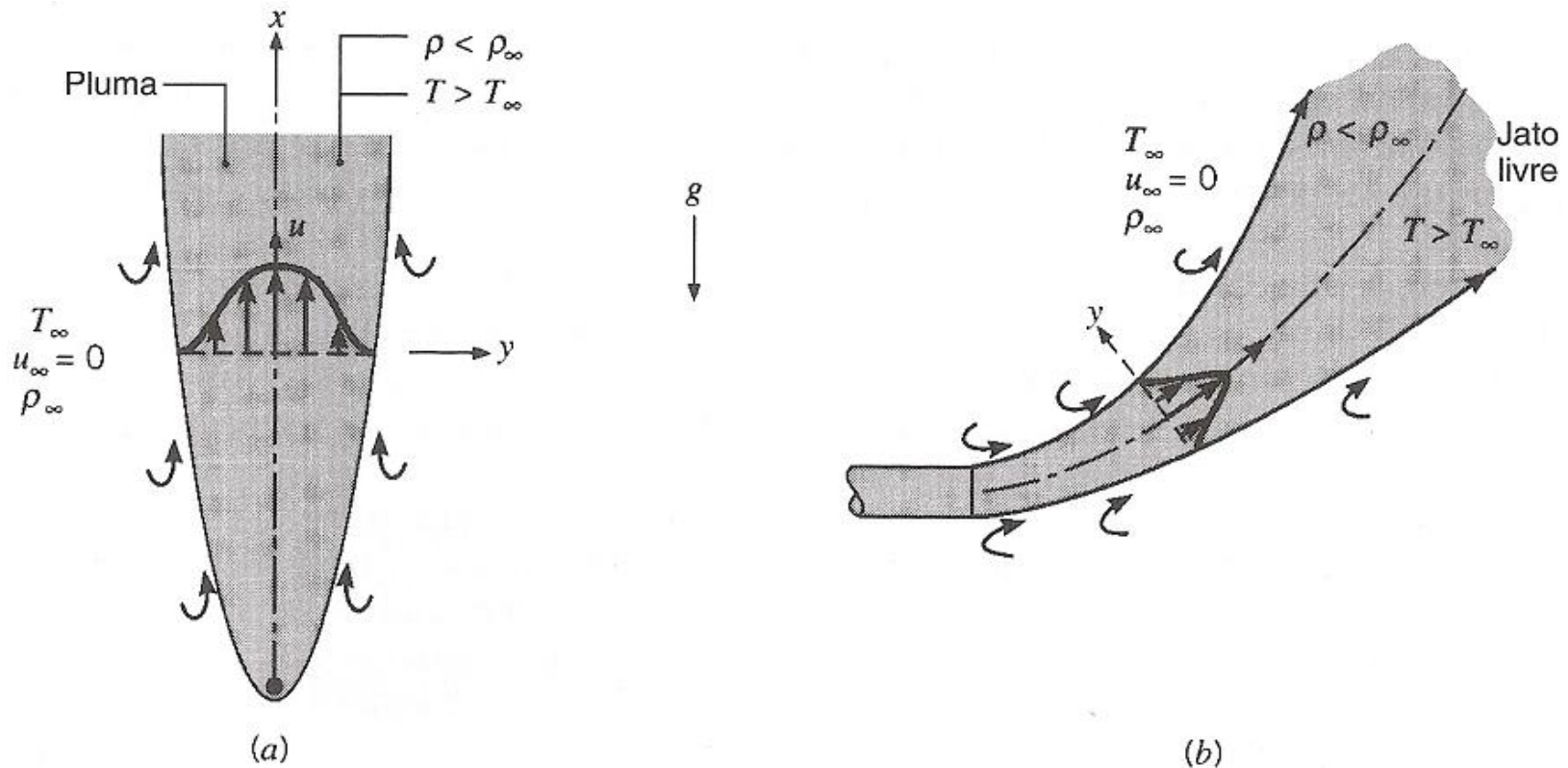
# 9.1 Considerações Físicas



**Figura 9.1:** Gradiente de temperatura (a) instável e (b) estável

# 9.1 Considerações Físicas

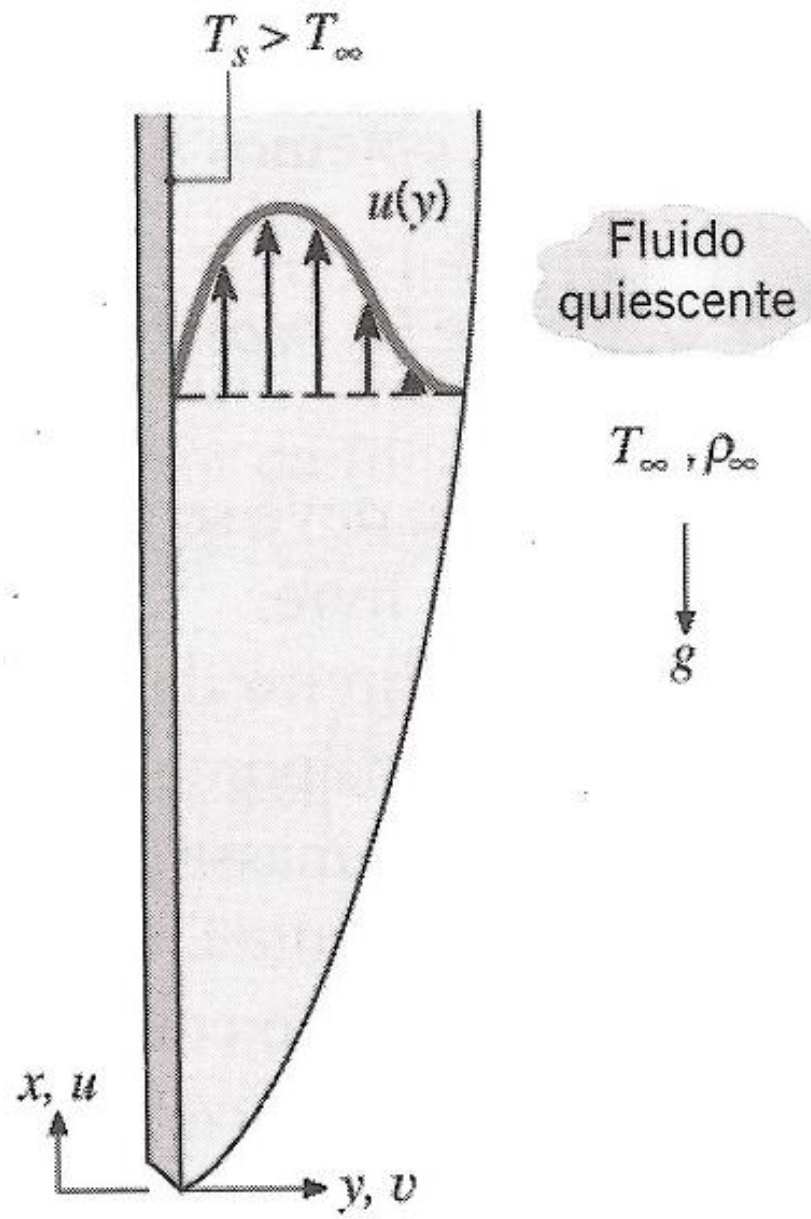
- Convecção natural sem fronteiras
- Desenvolvimento da C.L. sobre uma placa vertical aquecida



**Figura 9.2:** (a) Formação de pluma de convecção natural e (b) jato livre

## ***9.2 Equações de Convecção Livre***

- Equações de camada limite com inclusão de forças de empuxo (de corpo)
- Fig. 9.3 - 2D, estacionário, gravidade no sentido contrário de  $x$ , propriedades constantes, fluido incompressível, exceto no efeito da densidade na força de empuxo;
- Aproximações de camada limite do Cap. 6



**Figura 9.3:** Desenvolvimento da C.L. sobre uma placa vertical aquecida

## 9.2 Equações de Convecção Livre

- Mantendo a força de corpo  $X = -\rho g$  na equação da quantidade de movimento em  $x$  (6.45)

$$u \frac{\partial u}{\partial x} + v \frac{\partial u}{\partial y} = -\frac{1}{\rho} \frac{\partial p}{\partial x} - g + \nu \frac{\partial^2 u}{\partial y^2} \quad (9.1)$$

- A quantidade de movimento em  $y$  resultava em:

$$\frac{\partial p}{\partial y} = 0 \quad (9.2)$$

ou seja: o gradiente de pressão em  $x$  dentro da C.L é igual ao gradiente fora.

- Fora da C.L. as velocidades são nulas e a equação de quantidade de movimento em  $x$  (9.1) se reduz a:

## 9.2 Equações de Convecção Livre

$$\frac{\partial p}{\partial x} = -\rho_{\infty}g \quad (9.3)$$

a equação de quantidade de movimento em  $x$  fica então:

$$u \frac{\partial u}{\partial x} + v \frac{\partial u}{\partial y} = \underbrace{\frac{g}{\rho}(\rho_{\infty} - \rho)}_{\text{empuxo}} + \nu \frac{\partial^2 u}{\partial y^2} \quad (9.4)$$

- Define-se o *Coefficiente de expansão térmica*  $\beta$  como:

$$\beta \equiv -\frac{1}{\rho} \left( \frac{\partial \rho}{\partial T} \right)_p \quad (9.5)$$



## 9.2 Equações de Convecção Livre

pode-se aproximar  $\beta$  por:

$$\beta \approx -\frac{1}{\rho} \frac{\rho_\infty - \rho}{T_\infty - T} \quad (9.6)$$

ou

$$\rho_\infty - \rho \approx \rho\beta(T - T_\infty) \quad (9.7)$$

substituindo-se na eq. de momento (9.4) resulta:

$$u \frac{\partial u}{\partial x} + v \frac{\partial u}{\partial y} = g\beta(T - T_\infty) + \nu \frac{\partial^2 u}{\partial y^2} \quad (9.8)$$

- As outras equações do problema são a continuidade e energia:

## 9.2 Equações de Convecção Livre

$$\frac{\partial u}{\partial x} + \frac{\partial v}{\partial y} = 0 \quad (9.9)$$

$$u \frac{\partial T}{\partial x} + v \frac{\partial T}{\partial y} = \alpha \frac{\partial^2 T}{\partial y^2} \quad (9.10)$$

- Observe o acoplamento, via temperatura, entre as camadas limite fluidodinâmica e térmica. Não é possível separar as soluções.

## 9.3 Considerações de Similaridade

- Adimensionalização das equações com:
  - Comprimento:  $x^* \equiv \frac{x}{L}$  e  $y^* \equiv \frac{y}{L}$ , onde  $L$  é um *comprimento característico*;
  - Velocidades:  $u^* \equiv \frac{u}{u_o}$  e  $v^* \equiv \frac{v}{u_o}$ ; onde  $u_o$  é uma velocidade de referência arbitrária (não existe velocidade fora da C.L.);
  - Temperatura:  $T^* \equiv \frac{T-T_\infty}{T_{sup}-T_\infty}$ ;
  - Obtém-se as equações de quantidade de movimento (9.8) e energia (9.10) na forma:

## 9.3 Considerações de Similaridade

$$u^* \frac{\partial u^*}{\partial x^*} + v^* \frac{\partial u^*}{\partial y^*} = \frac{g\beta(T_{sup} - T_{\infty})L}{u_o^2} T^* + \frac{1}{Re_L} \frac{\partial^2 u^*}{\partial y^{*2}} \quad (9.11)$$

$$u^* \frac{\partial T^*}{\partial x^*} + v^* \frac{\partial T^*}{\partial y^*} = \frac{1}{Re_L Pr} \frac{\partial^2 T^*}{\partial y^{*2}} \quad (9.12)$$

- Como a velocidade de referência  $u_o$  não é conhecida, define-se o Número de Grashof

$$Gr_L \equiv \frac{g\beta(T_{sup} - T_{\infty})L}{u_o^2} \left( \frac{u_o L}{\nu} \right)^2 = \frac{g\beta(T_{sup} - T_{\infty})L^3}{\nu^2} \quad (9.13)$$

## 9.4 Convecção Laminar em Superfície Vertical

- Formulação com variável similar
- Solução numérica para vários  $Pr$

$$Nu_x = \frac{hx}{k} = - \left( \frac{Gr_x}{4} \right)^{1/4} \left. \frac{dT^*}{d\eta} \right|_{\eta=0} = \left( \frac{Gr_x}{4} \right)^{1/4} g(Pr) \quad (9.14)$$

onde

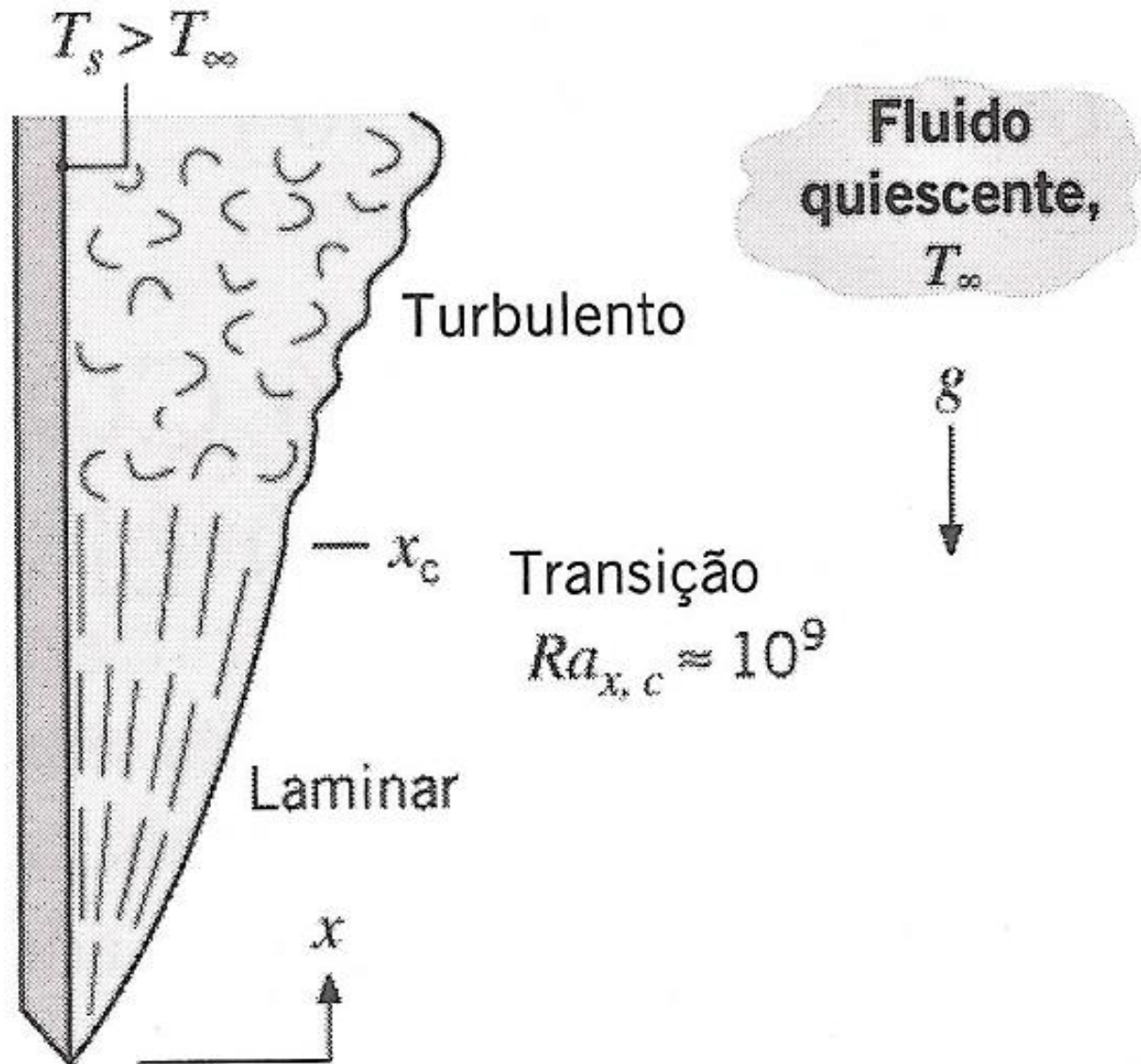
$$g(Pr) = \frac{0,75Pr^{1/2}}{(0,609 + 1,221Pr^{1/2} + 1,238Pr)^{1/4}} \quad (9.15)$$

- Integrando-se para todo o comprimento da placa  $L$  chega-se ao valor médio:

$$\overline{Nu}_L = \frac{\bar{h}L}{k} = \frac{4}{3} \left( \frac{Gr_L}{4} \right)^{1/4} g(Pr) = \frac{4}{3} Nu_L \quad (9.16)$$

## 9.5 Efeitos da Turbulência

- Origem do escoamento de convecção natural - instabilidades térmicas;
- Origem da turbulência - instabilidades fluidodinâmicas.



**Figura 9.4:** Transição em convecção natural em uma placa vertical

- Parâmetro: *Número de Rayleigh*:

$$Ra_x \equiv Gr_x Pr \quad (9.17)$$

- Placas Planas Verticais - Transição em

$$Ra_{x,c} = Gr_{x,c} Pr = \frac{g\beta(T_{sup} - T_{\infty})x_c^3}{\nu\alpha} \approx 10^9 \quad (9.18)$$



## 9.6 Correlações Empíricas

- Existem várias correlações. Procurar a mais adequada.

### 9.6.1 Placa Vertical

- Uma correlação para  $T_{sup} = cte$ :

$$\overline{Nu}_L = \left[ 0,825 + \frac{0,387 Ra_L^{1/6}}{[1 + (0,492/Pr)^{9/16}]^{8/27}} \right]^2 \quad (9.19)$$

## 9.6 Correlações Empíricas

### 9.6.2 Cilindro horizontal longo

$$\overline{Nu}_D = \frac{\bar{h}D}{k} \quad (9.20)$$

com  $\overline{Nu}_D$  calculado por:

$$\overline{Nu}_D = \left[ 0,60 + \frac{0,387 Ra_D^{1/6}}{[1 + (0,559/Pr)^{9/16}]^{8/27}} \right]^2 \quad (9.21)$$

para  $Ra_D \leq 10^{12}$

## 9.6 Correlações Empíricas

### 9.6.3 Esfera

para  $Ra_D \leq 10^{11}$  e  $Pr \geq 0,7$  vale:

$$\overline{Nu}_D = 2 + \frac{0,589 Ra_D^{1/4}}{[1 + (0,469/Pr)^{9/16}]^{4/9}} \quad (9.22)$$